

Badanie wycinka mięśniowego w mikroskopie świetlnym i elektronowym

Nr: 24/06

Imię i nazwisko :

Wiek: 63

Rozpoznanie: Podejrzenie LGMB do różnicowania IBM

Data pobrania wycinka: 17 X 2006r..

Mięsień: guadriceps dx.

W pobranym wycinku widoczne włókna mięśniowe o różnej średnicy wymieszane nieregularnie między sobą. We włóknach tych widoczne są wakuole /o typie rimmed/o różnej średnicy kształcie i ilości. Wakuole widoczne są zarówno we włóknach zanikłych jak i we włóknach o prawidłowej średnicy. Ponadto widoczne są także włókna pojedyncze uległe martwicy z fagocytozą, znaczny rozrost tkanki łącznej w endo i perimysium. Podział włókien na typy metaboliczne zachowany prawidłowo z wyraźnym zanikiem włókien typu 1.

Wnioski: Zaawansowane zmiany pierwotnie mięśniowe. Obecność wakuoli typu „rimmed” sugeruje wtórne zapalenie mięśni.

Opis w mikroskopie elektronowym

Analiza w M-E wykazała obecność tubulofilaminarnych wtrętów w cytoplazmie komórek mięśniowych z obecnością mielinowych struktur. Jądra komórek mięśniowych wykazują obecność dwu rodzaj zmian a. tubulofilamentarnych wtrętów b. w licznych włóknach widoczne rozległe ubytki heterochromatyny o różnej lokalizacji.

Wnioski: Ubytki heterochromatyny są zjawiskiem nie obserwowanym w literaturze dotyczącej IBM znajdujące się w laminopatiach.

Prof.dr hab.A.Fidziańska - Dolot

Przypadek: nr 24/06 (46/06 ME)

Rozpoznanie: wtretowe zapalenie mięśni.

Fig 1, 2. Tubularne struktury w cytoplazmie komórek mięśniowych .

Fig. 3, 4, 5, 6, 7, 8. Struktury mielinowe w cytoplazmie komórek mięśniowych

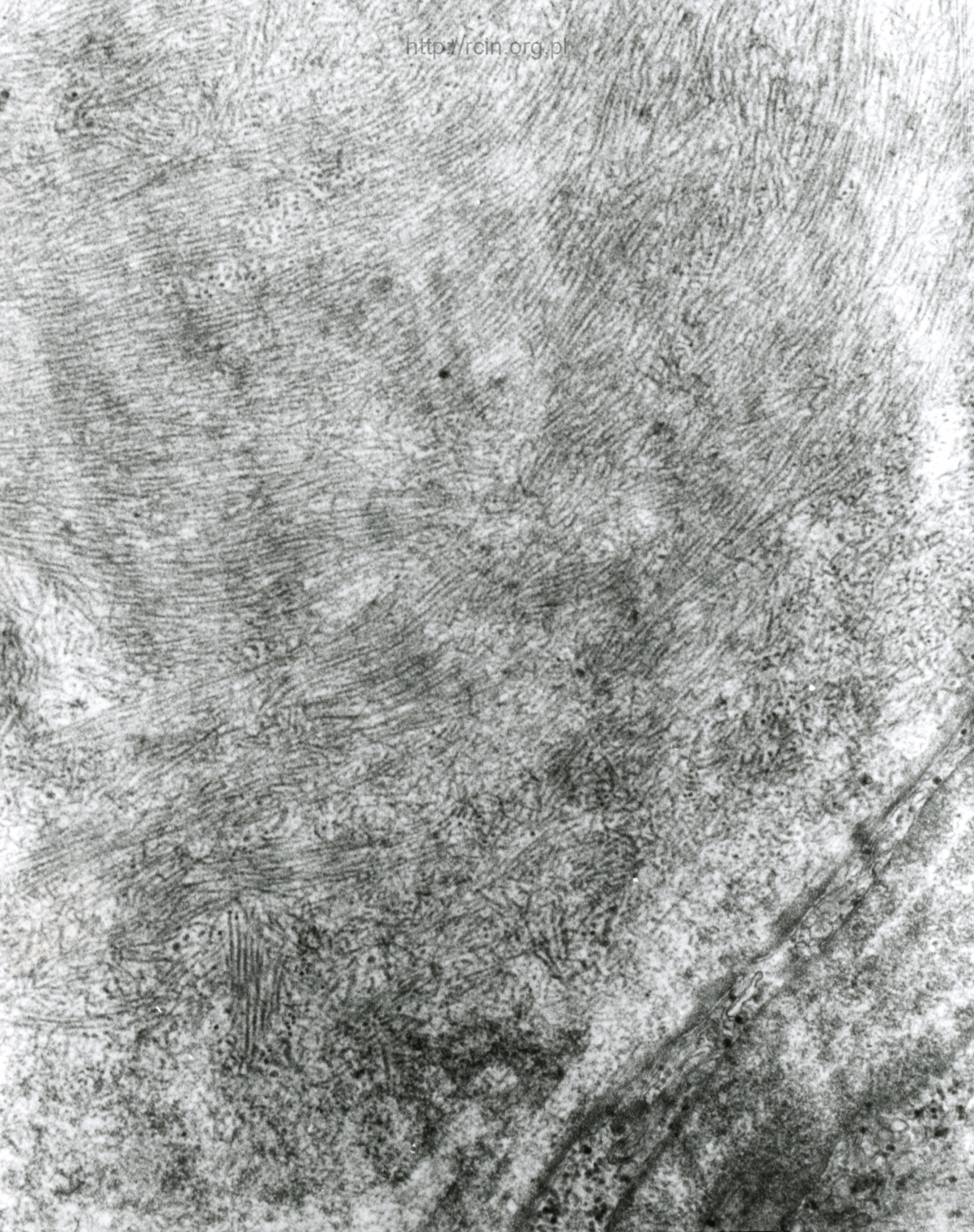
Fig. 9, 10. Tubularne struktury w jądrach komórek mięśniowych

Fig. 11-25. Ubytki w heterochromatynie jąder komórek mięśniowych

### Summary

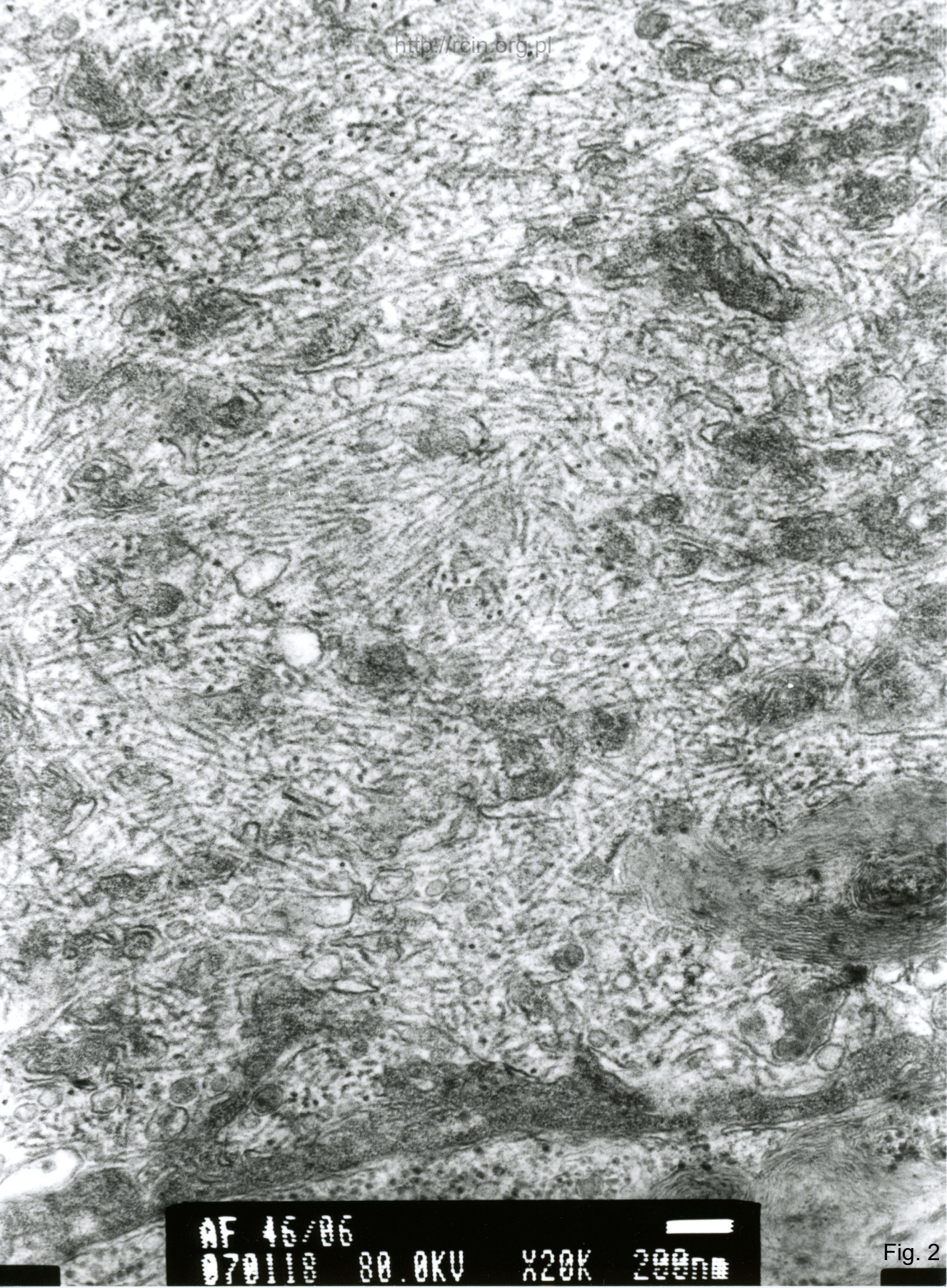
An 63-year-old patient with suspected inclusion myositis was examined. A biopsy of quadriceps dexter was performed.

Electron microscopy analysis revealed the presence of tubular inclusions (Figures 1, 2) and myelin structures in the cytoplasm of muscle cells (Figures 3, 4, 5, 6, 7, 8). Tubular inclusions were also seen in the nuclei of muscle cells (Figs. 9, 10). Moreover, defects in heterochromatin were observed in numerous muscle fibers (Figs. 11-25).



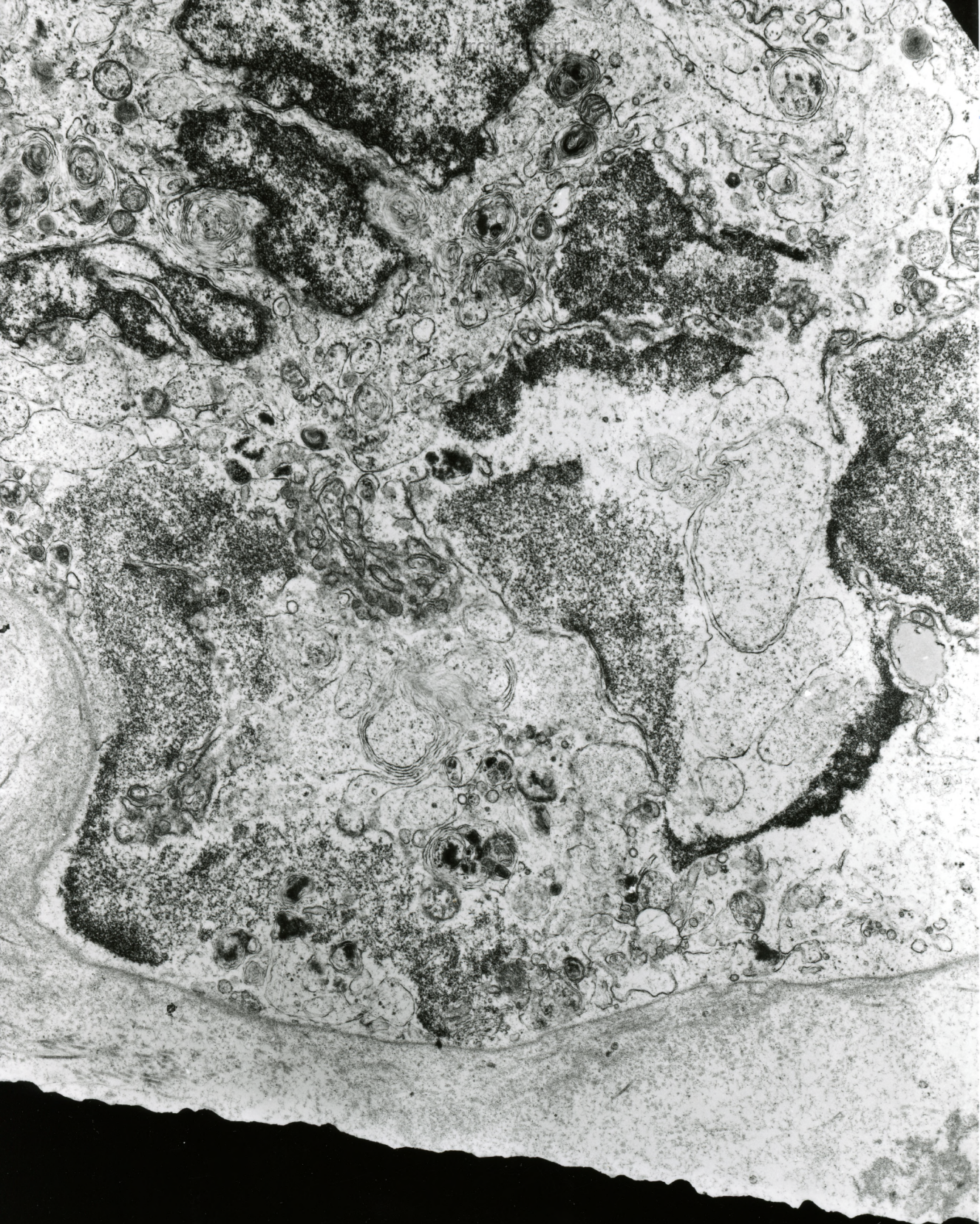
AF 46/06/  
070360 80.0KV X15K 500--

Fig. 1



AF 45/86  
070110 80.0KV X20K 200nm

Fig. 2

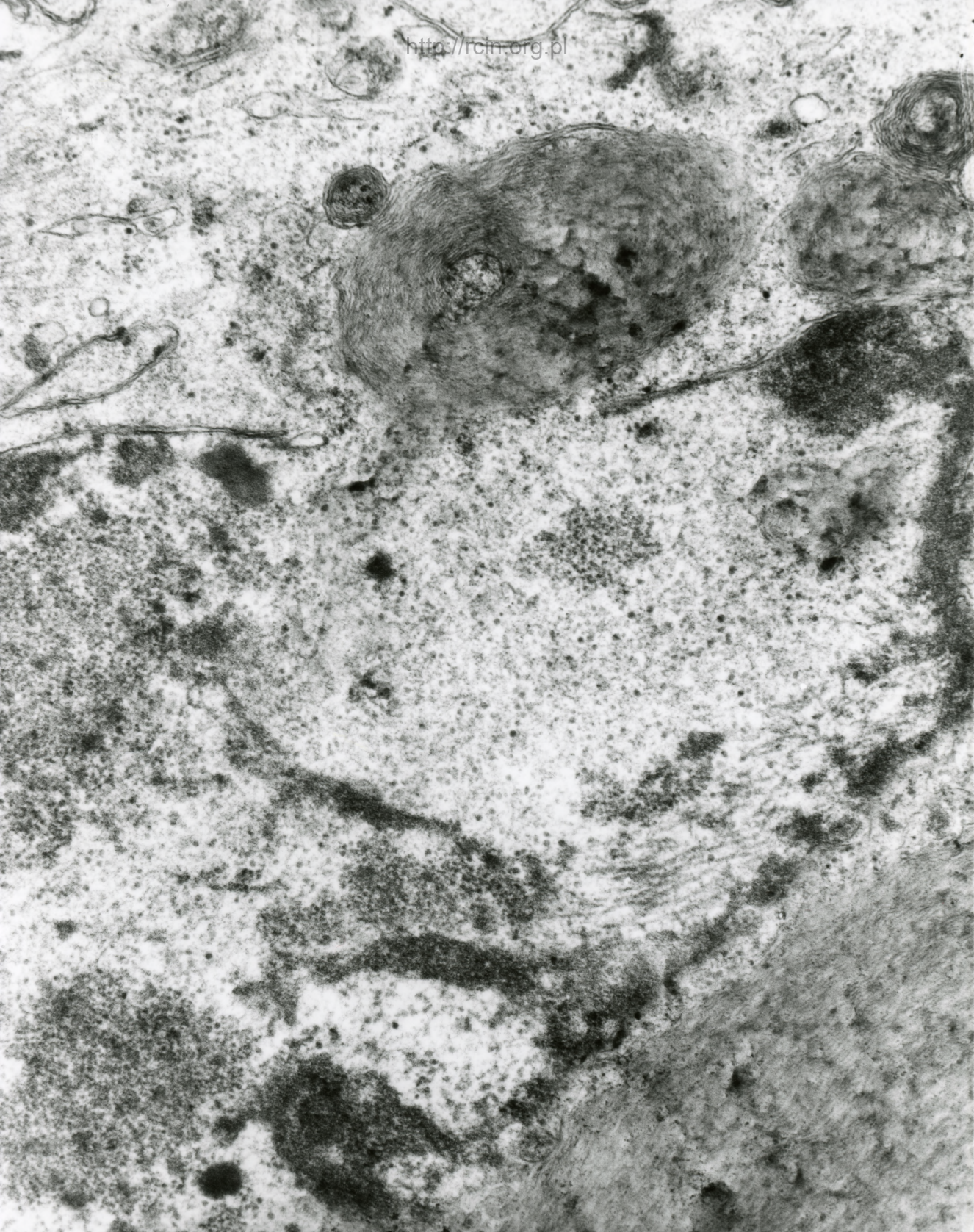


070074 80.0KV X5000



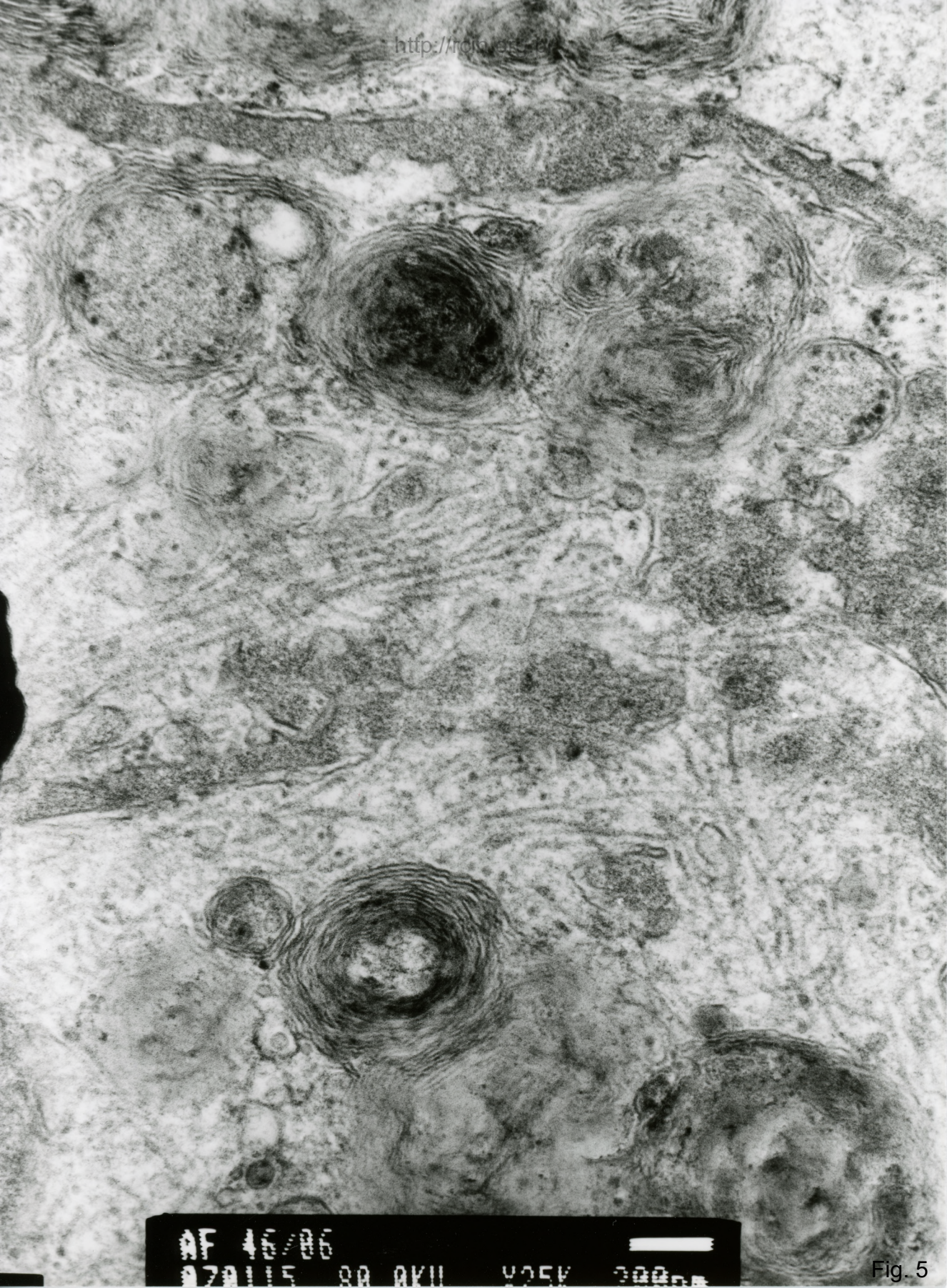
1µm

Fig. 3



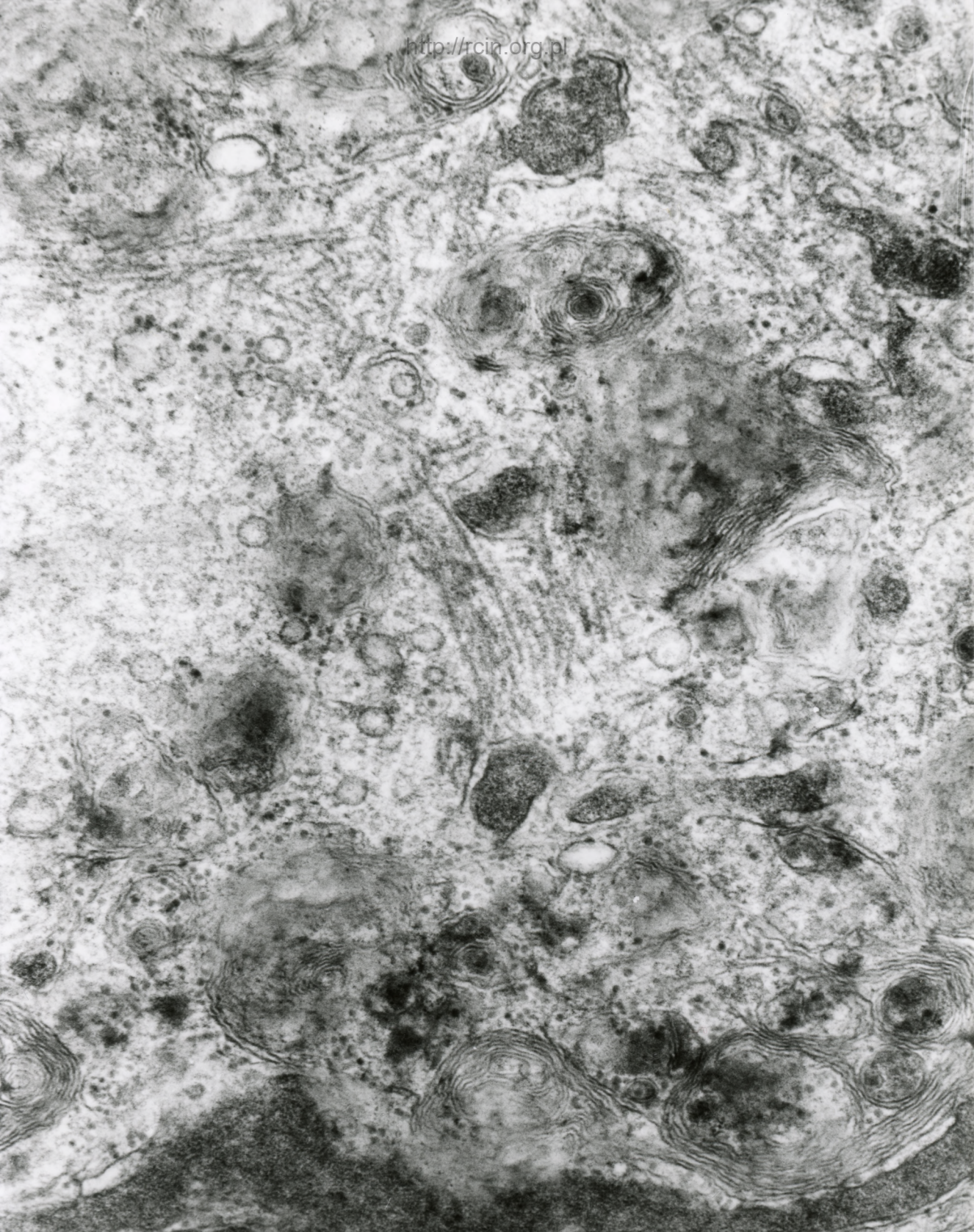
AF 46/06  
070116 80.0KV X15K 500nm

Fig. 4



AF 46/86  
070115 80 RKU 425K 30000

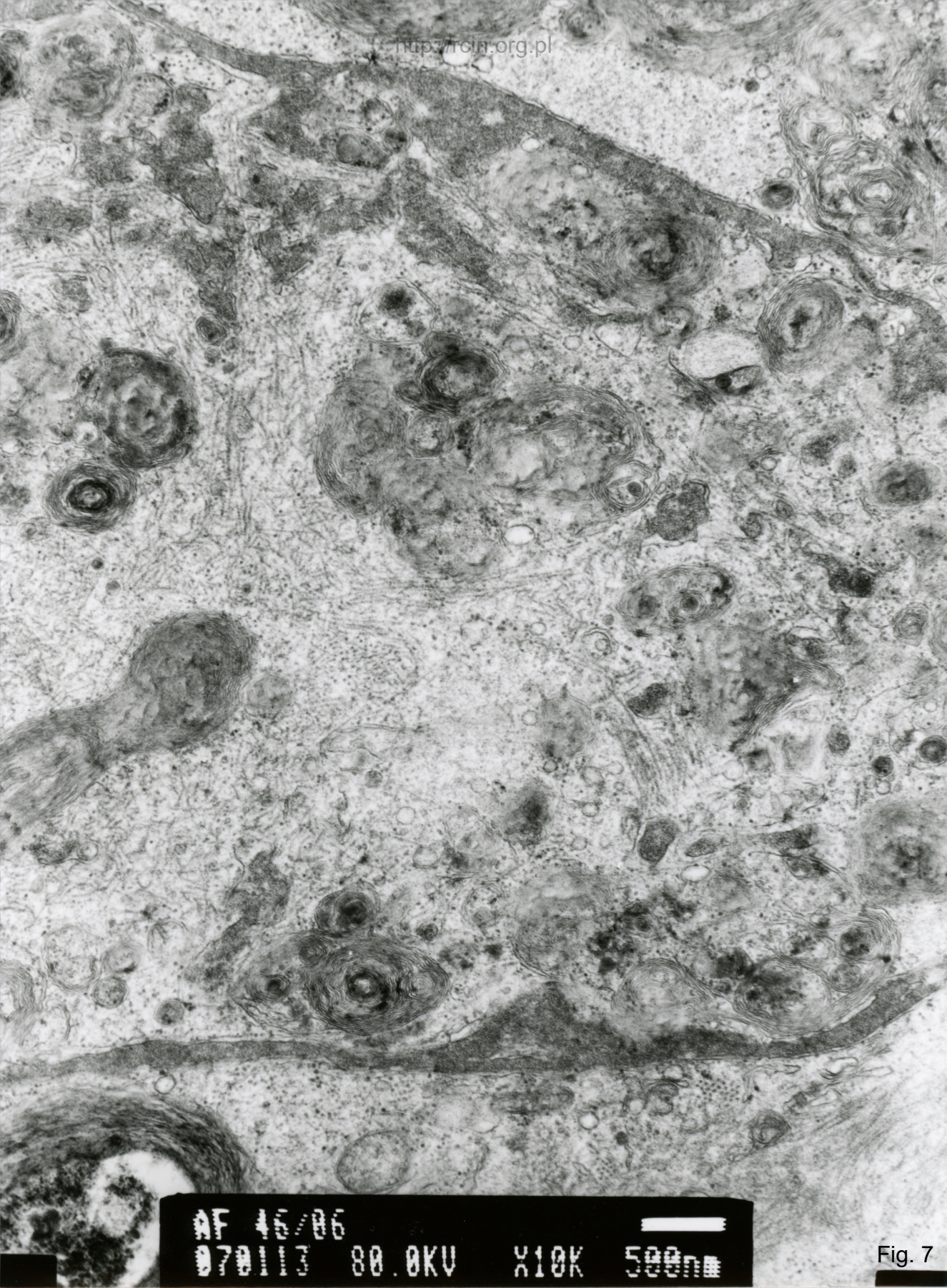
Fig. 5



AF 46/06  
070114 80.0KV X20K 200nm

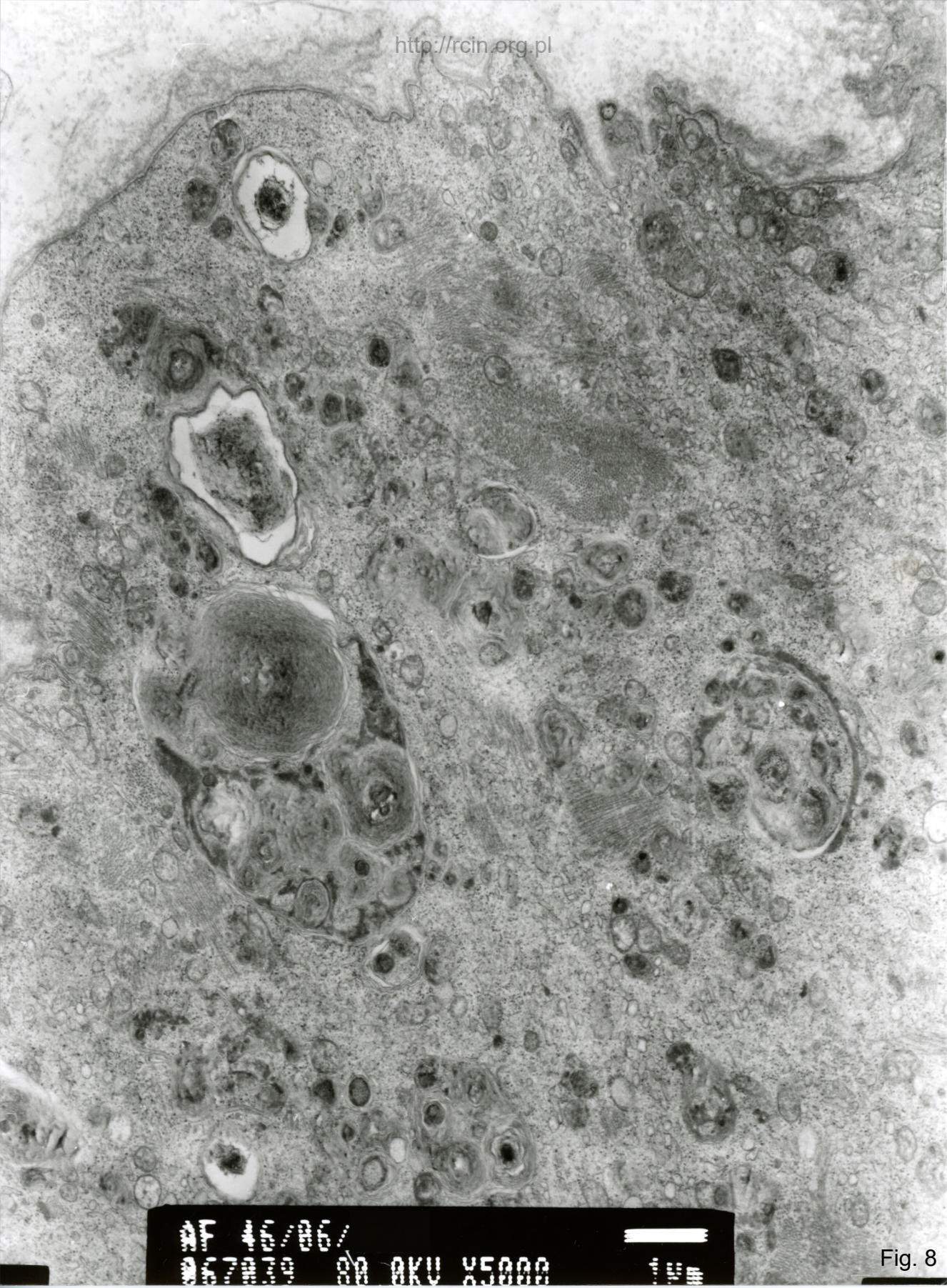
Fig. 6





AF 18/06  
070113 80.0KV X10K 500nm

Fig. 7



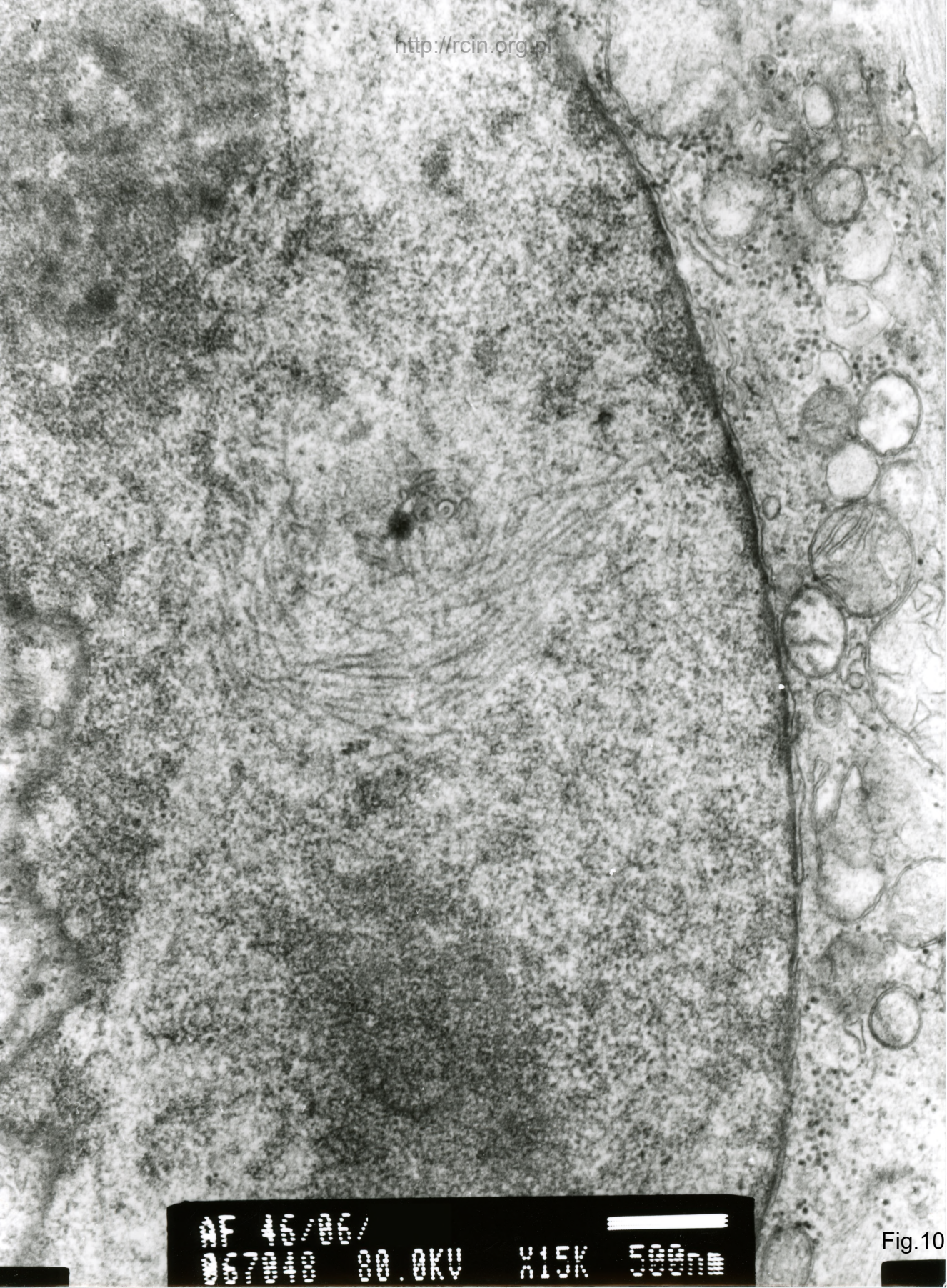
AF #6/06/  
067009 00 OKU 85000

Fig. 8



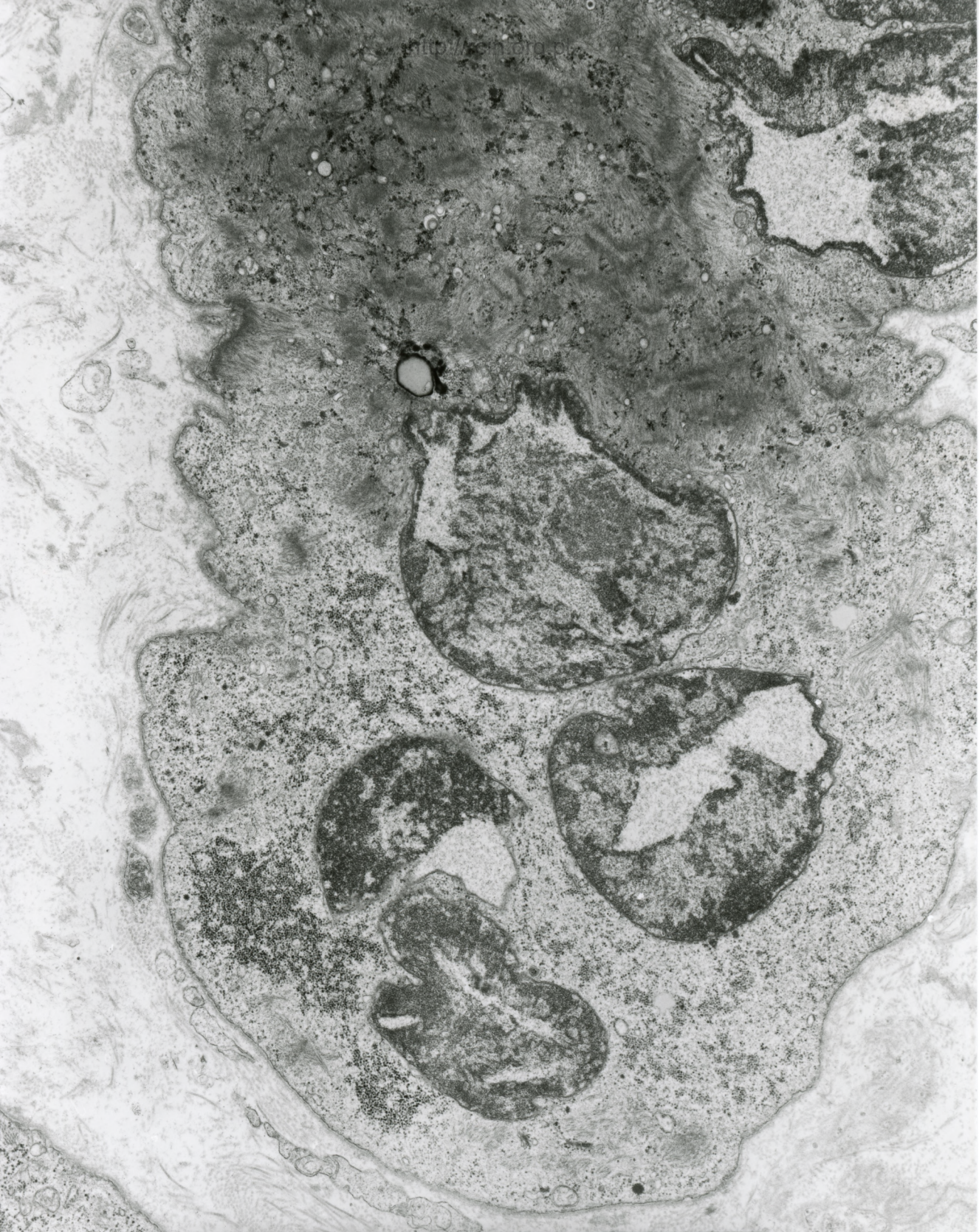
100000  
00.0KV X6000  
100000

Fig. 9



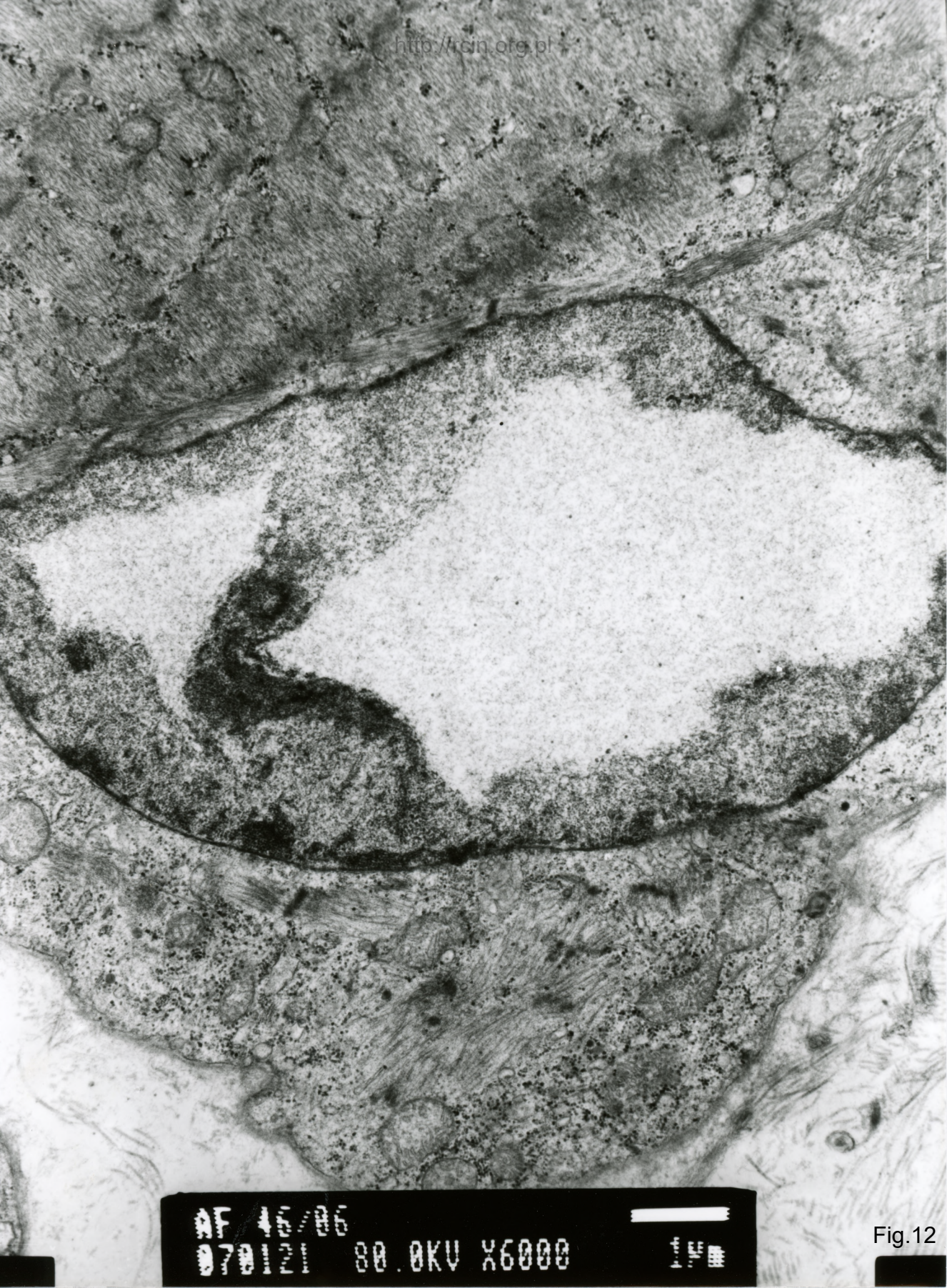
00.000000 00.0KV X15K 500nm

Fig.10



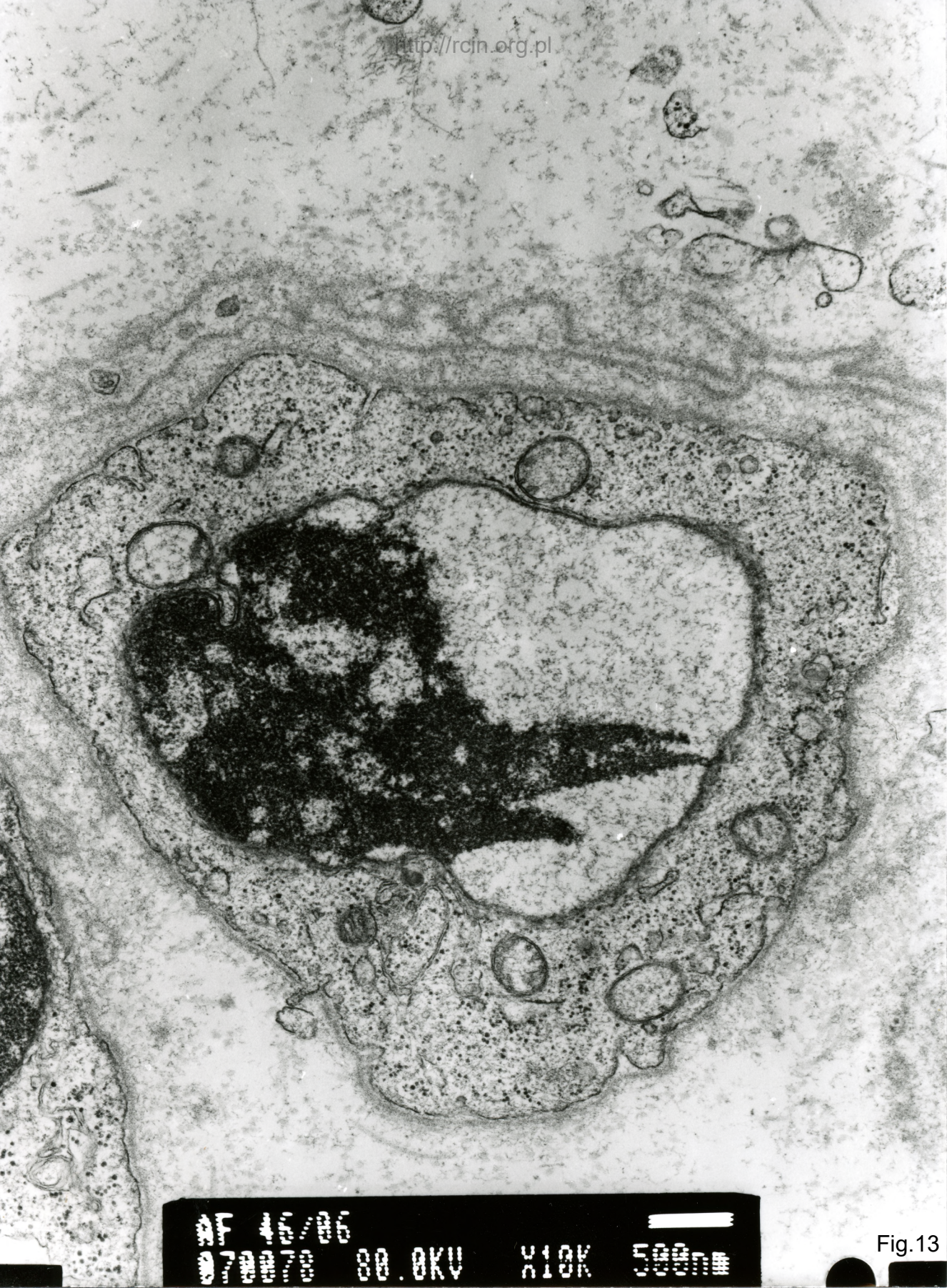
070060 00.0KV X4000 24

Fig.11



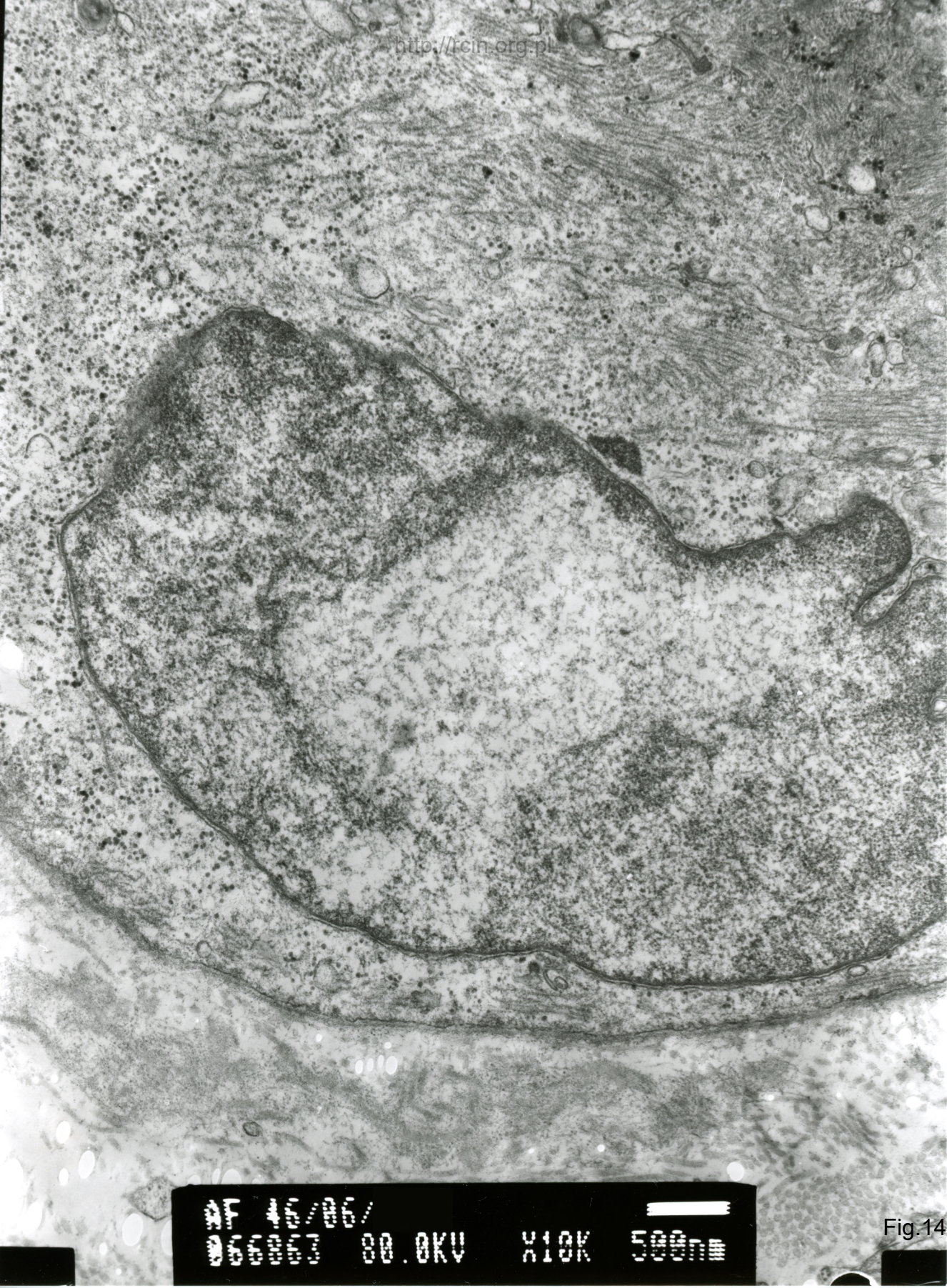
AF 45/06  
070121 80.0KV X6000

Fig.12



DF #12/86  
070070 80.0KV X10K 500nm

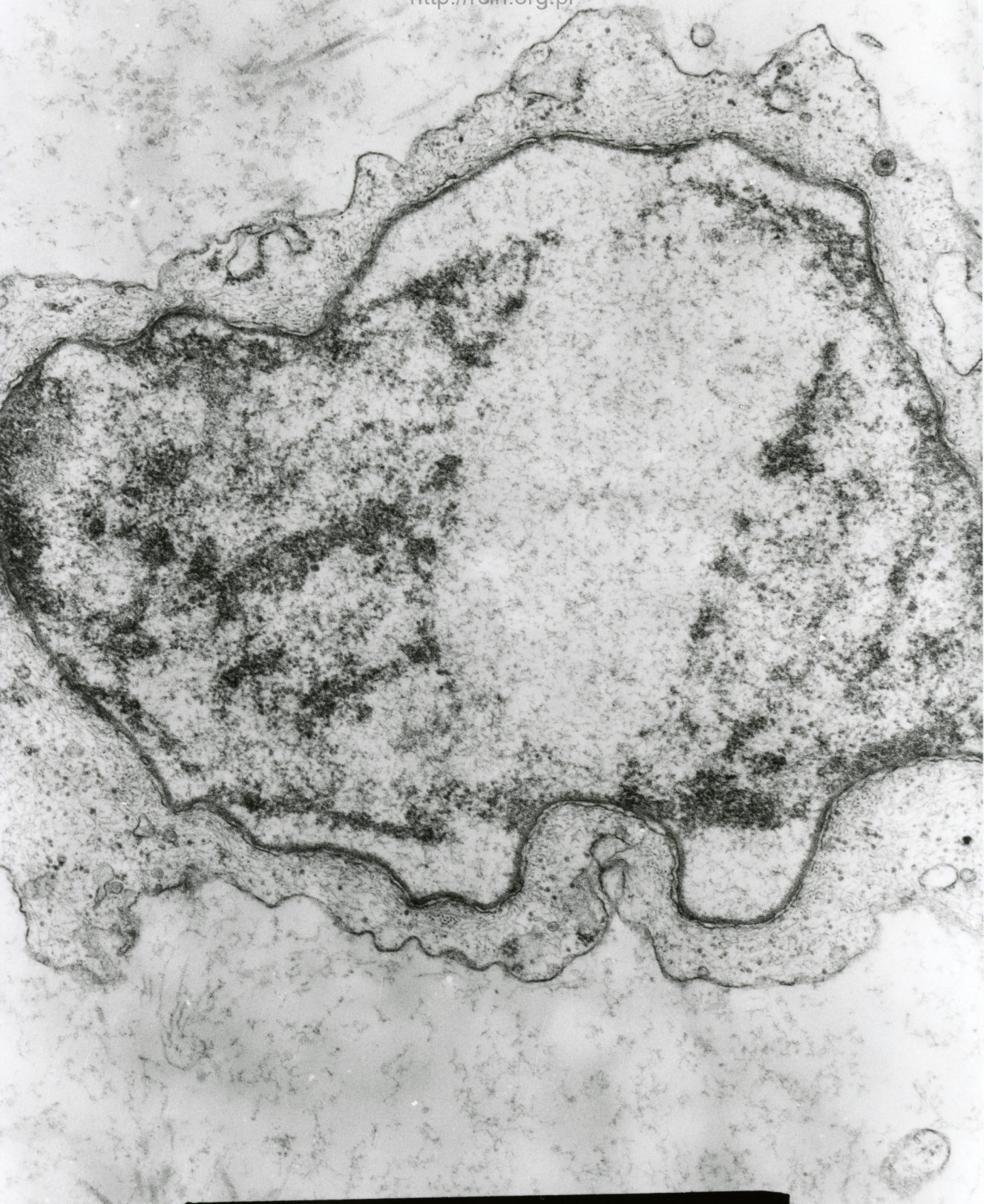
Fig.13



AF 12/06/  
066803 80.0KV X10K 500nm

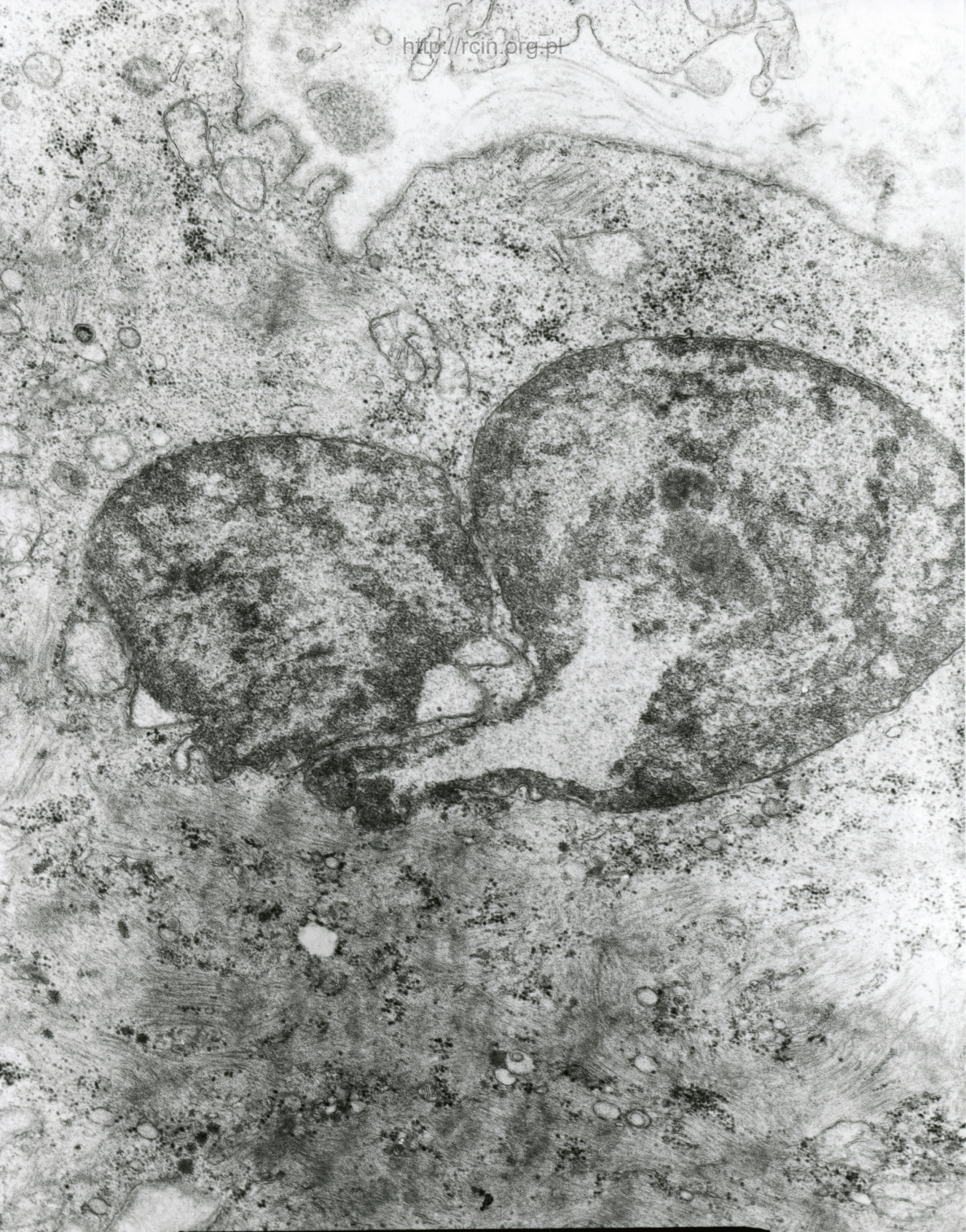
Fig.14





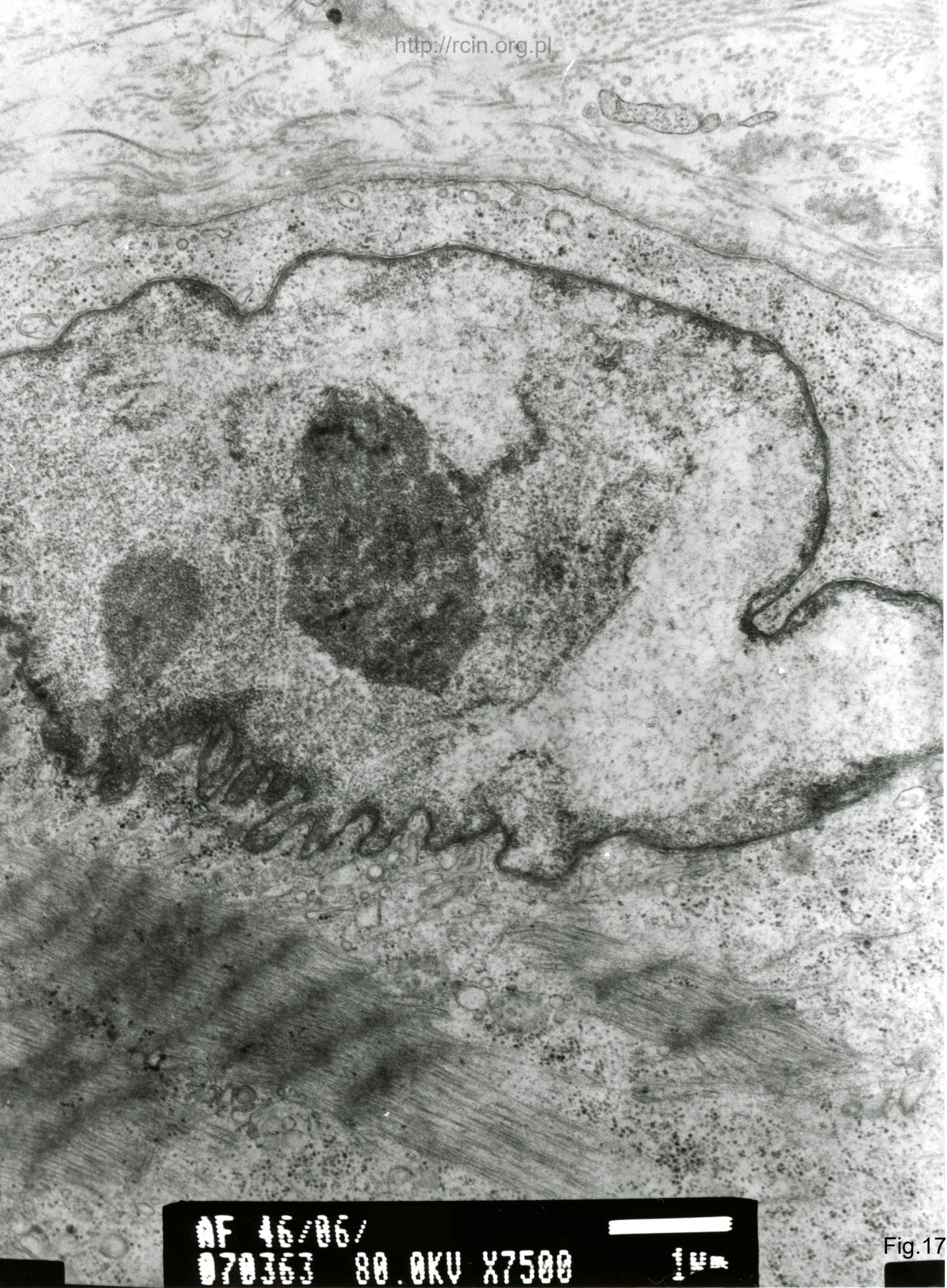
AF 46/06/  
070360 80.0KV X12K 500--

Fig.15



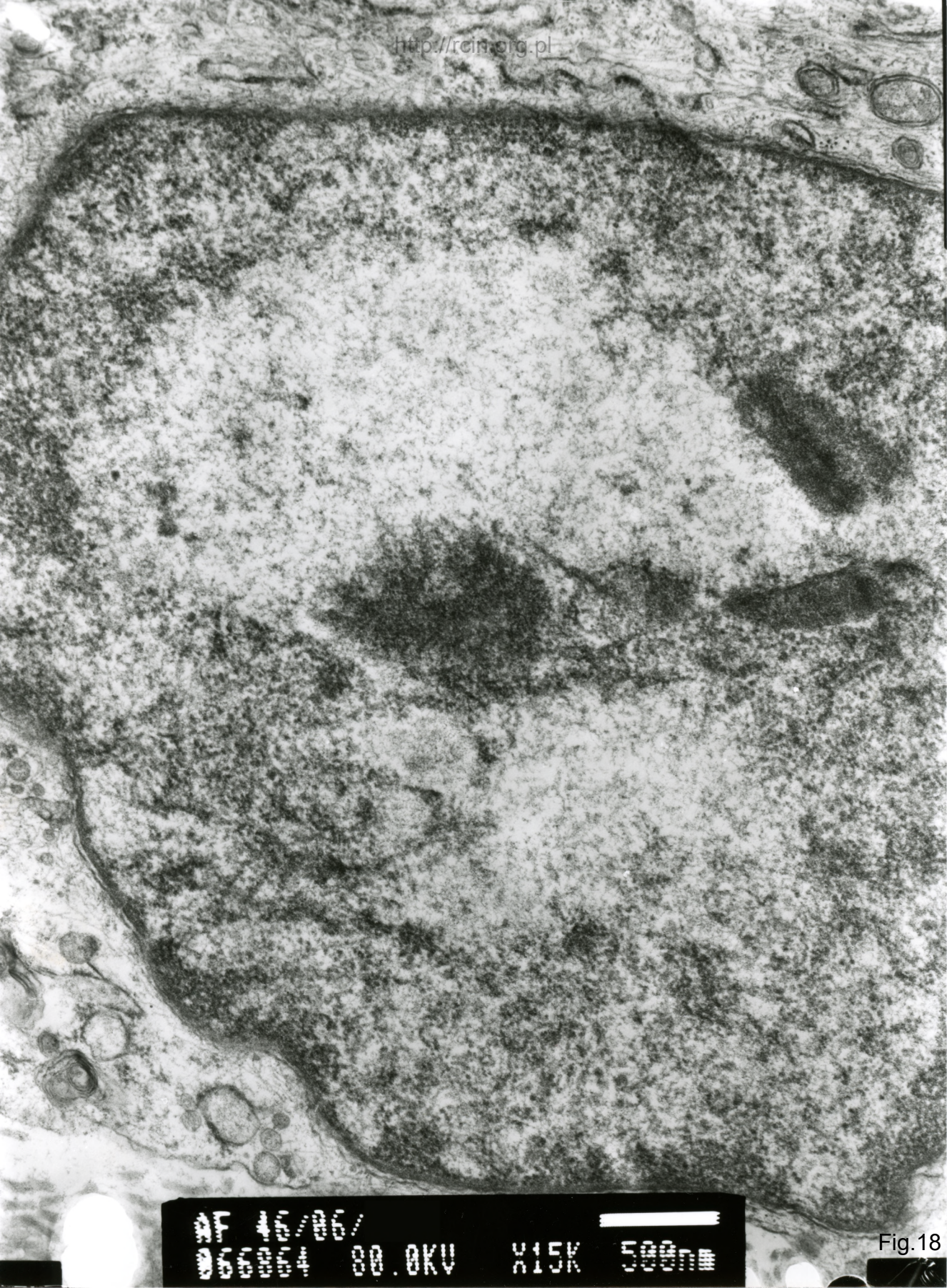
AF 46/06/  
070365 80.0KV X7500

Fig.16



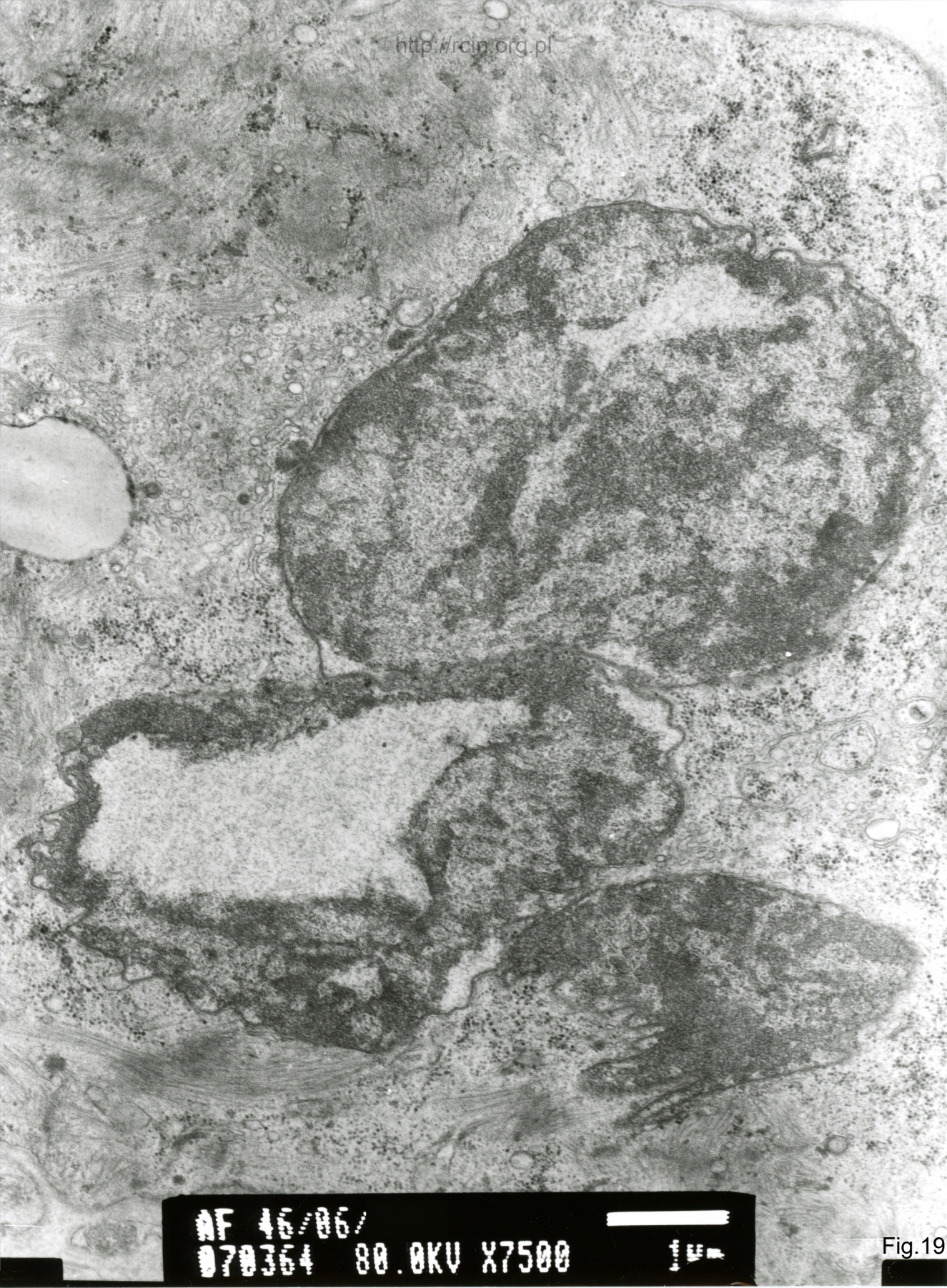
AF 46/06/  
070363 80.0KV X7500

Fig.17



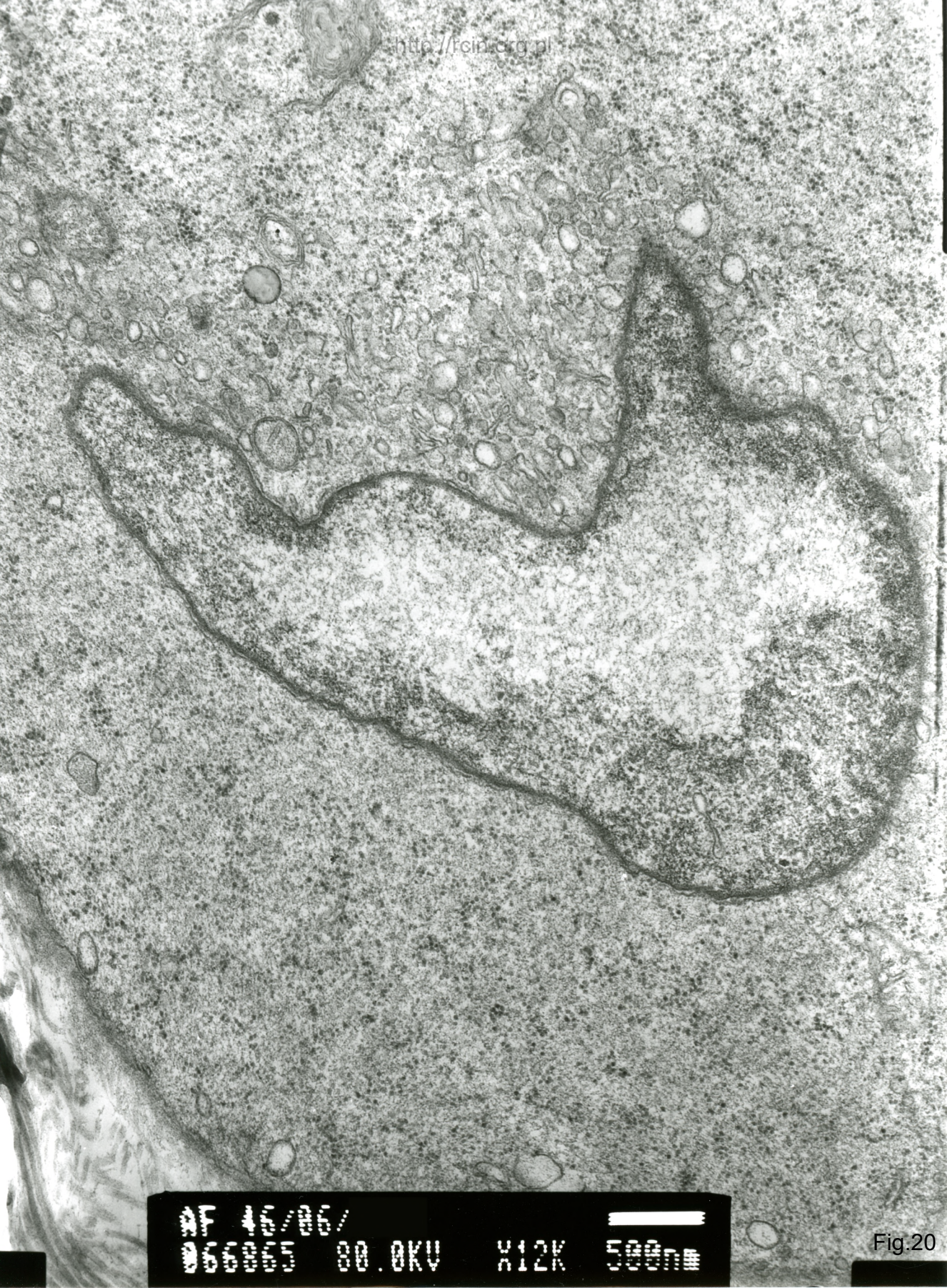
AF 12/06/  
056004 80.0KV X15K 500nm

Fig.18



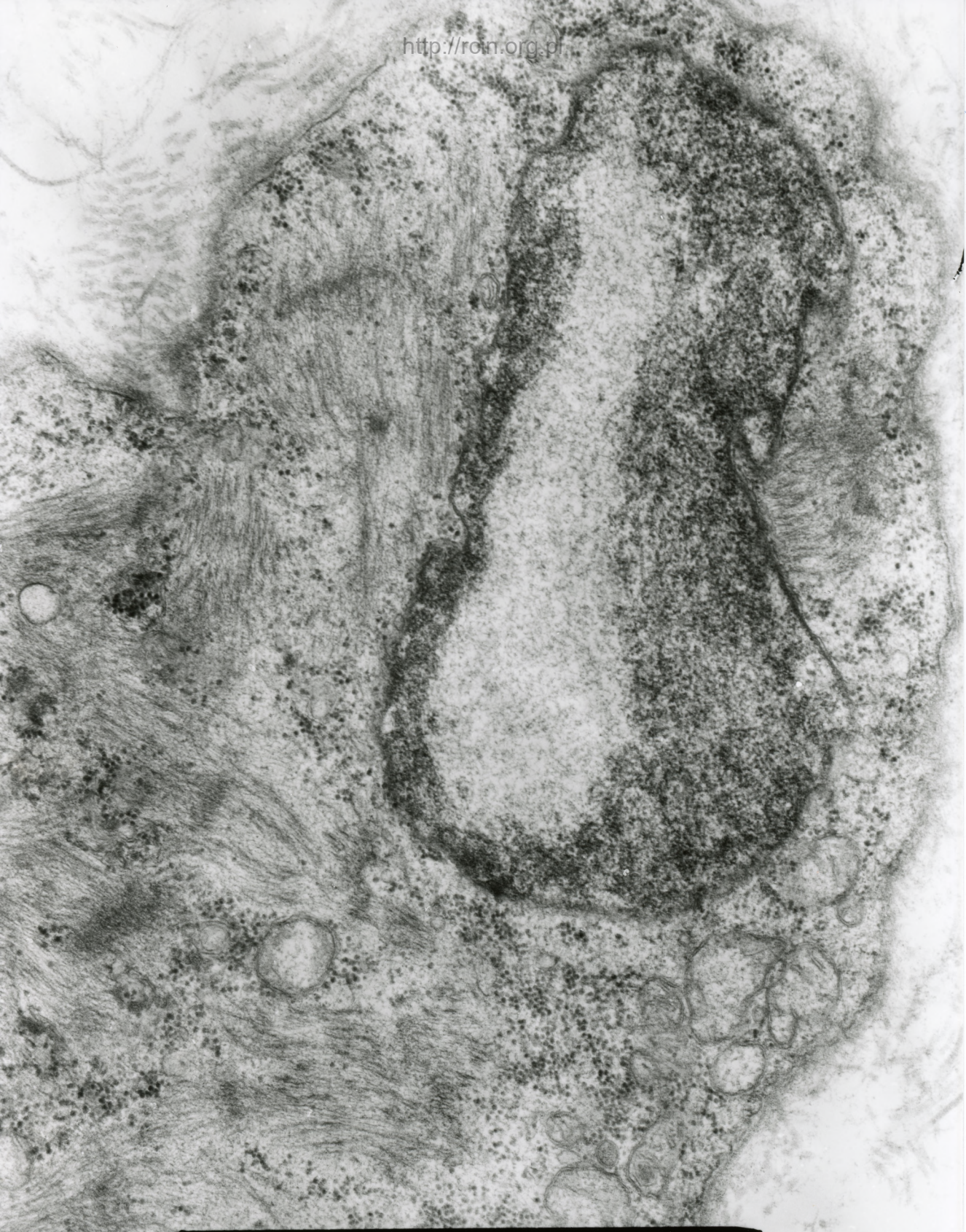
AF 46/86/  
070364 80.0KV X7500

Fig.19



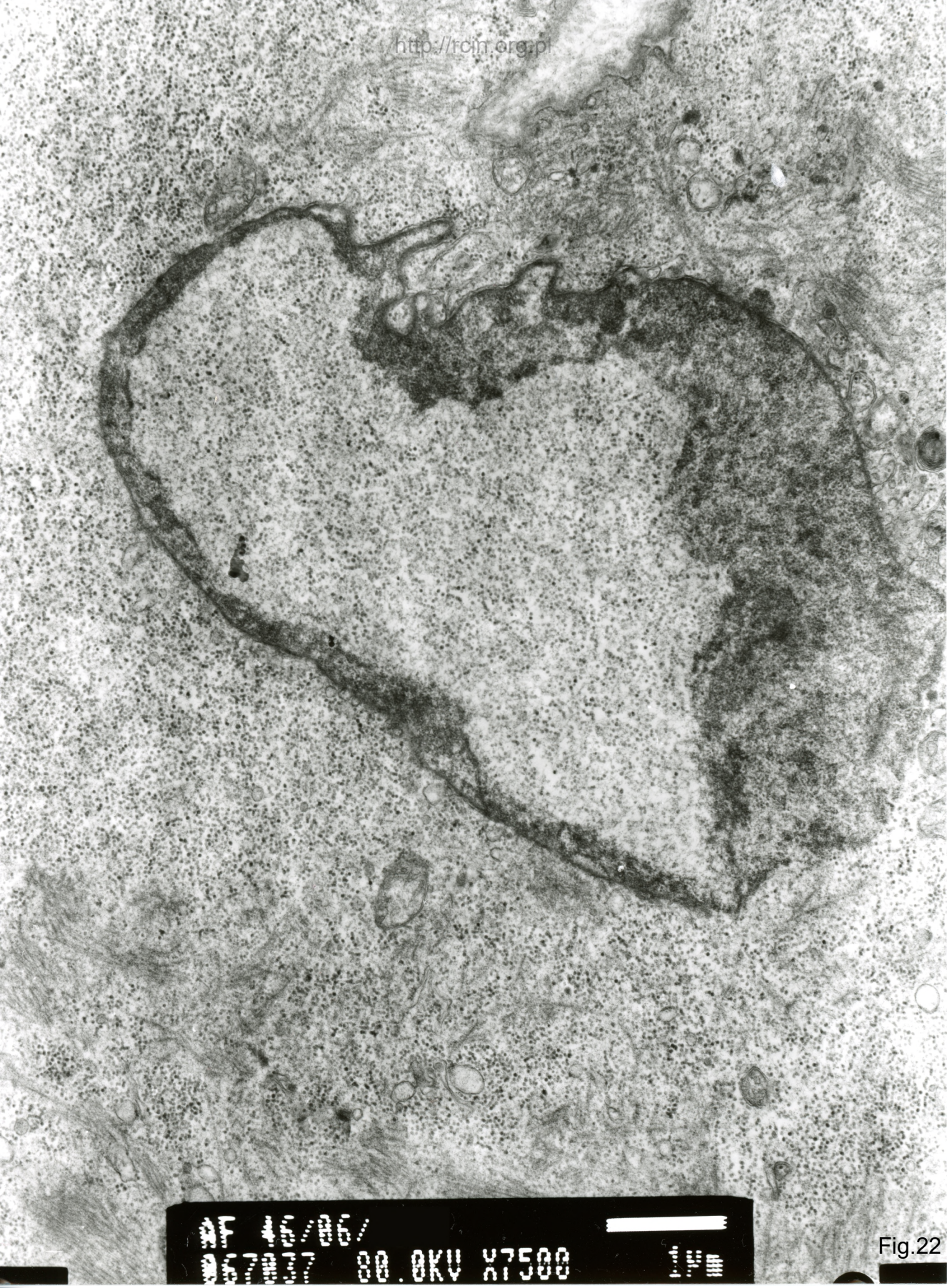
AF 46/06/  
066005 30.0KV X12K 500nm

Fig.20



AF 12/06/  
067004 80.0KV X12K 500nm

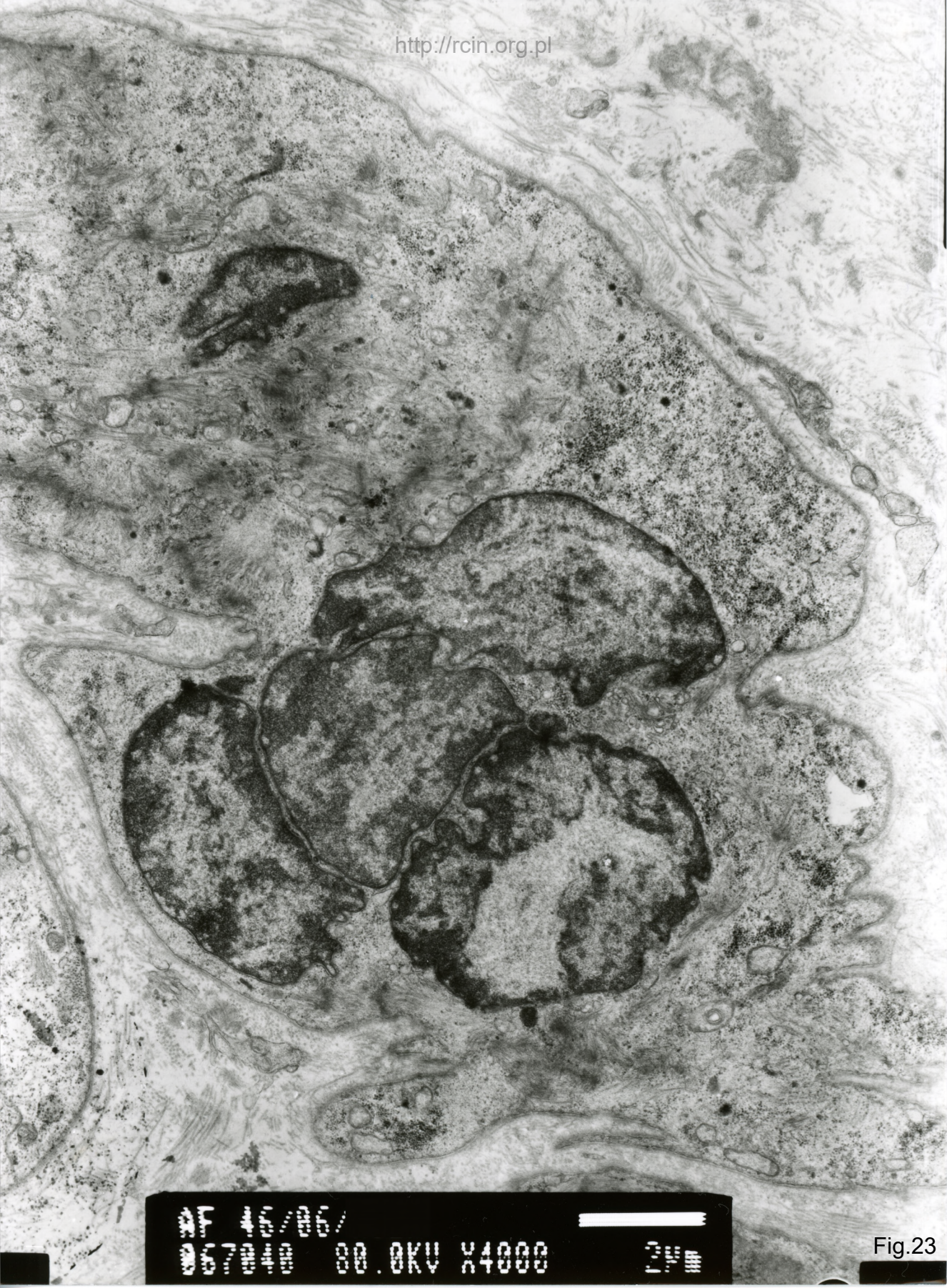
Fig.21



00.0KV X7500

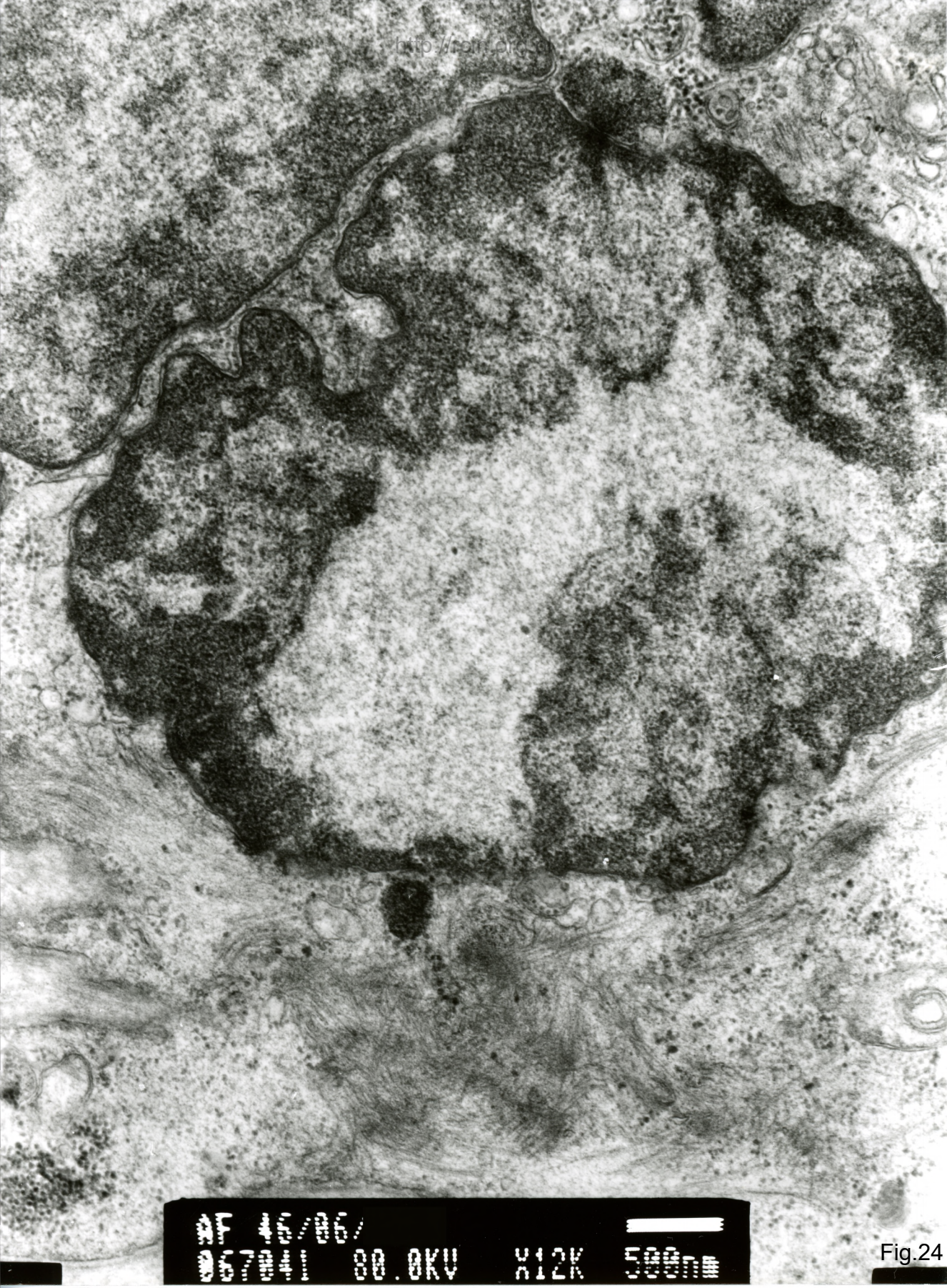
Fig.22





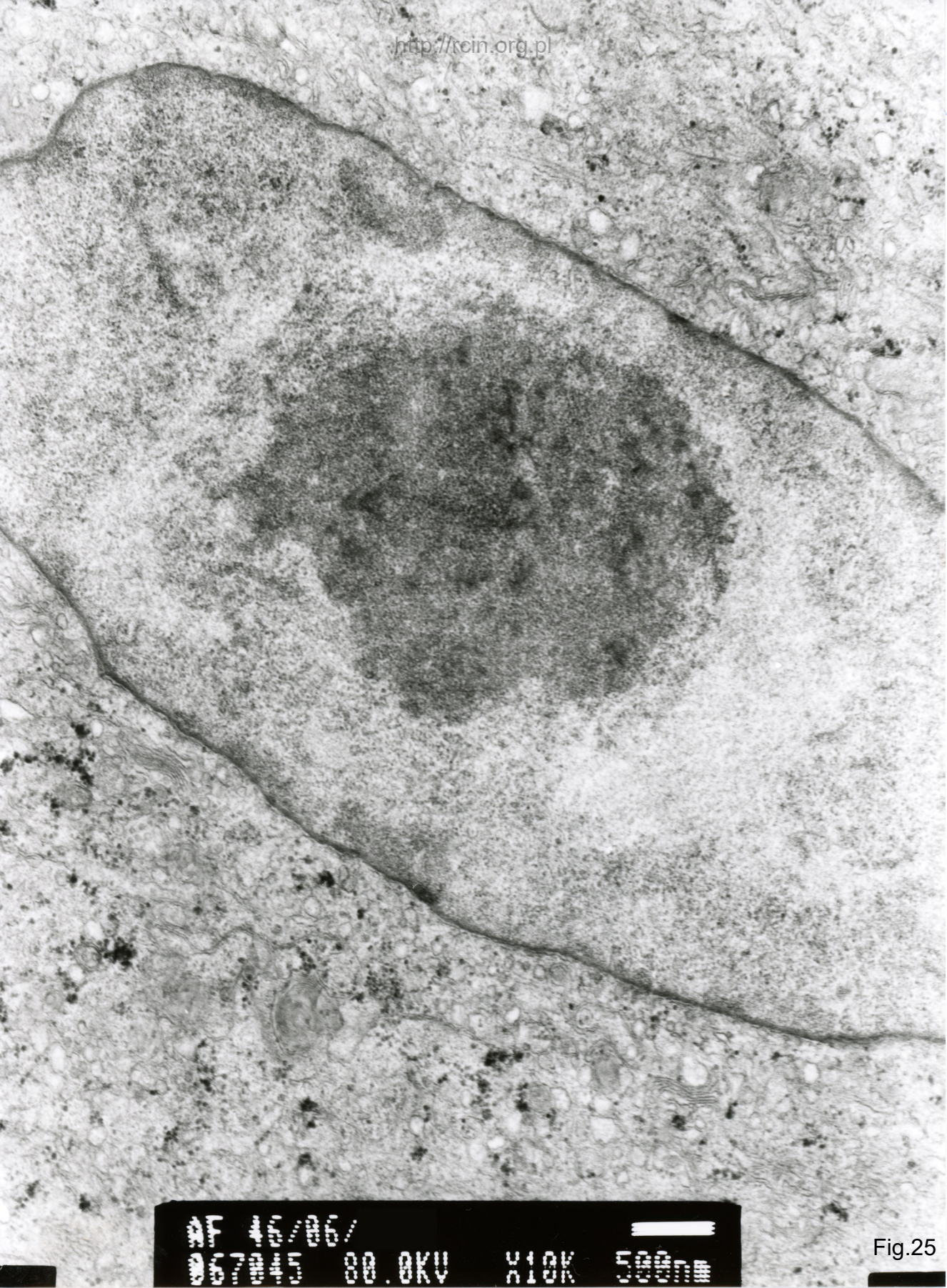
AF 46/86/  
067040 80.0KV X4000 2µm

Fig.23



AF 45/06/  
067 0001 80.0KV X12K 500nm

Fig.24



AF #6/06/  
067045 80.0KV X10K 500nm

Fig.25